

Fig. 1 (Prior Art)

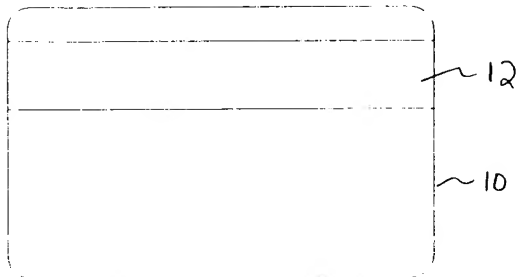


Fig. 2A

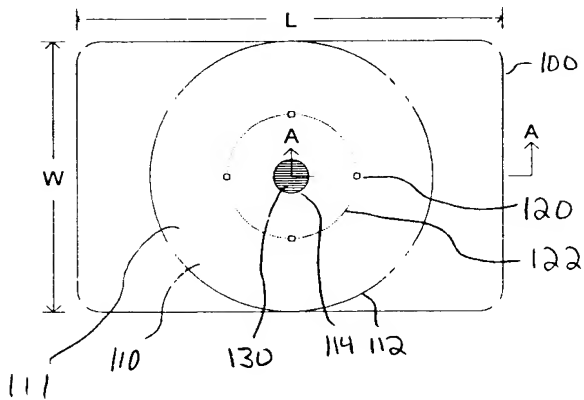


Fig. 2B

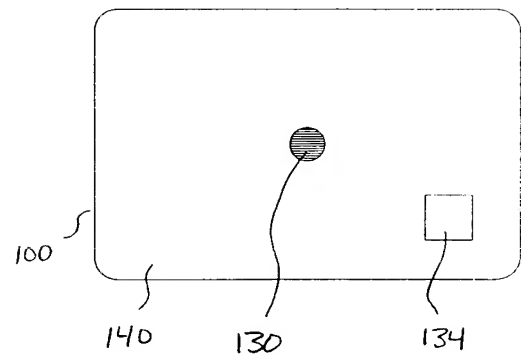
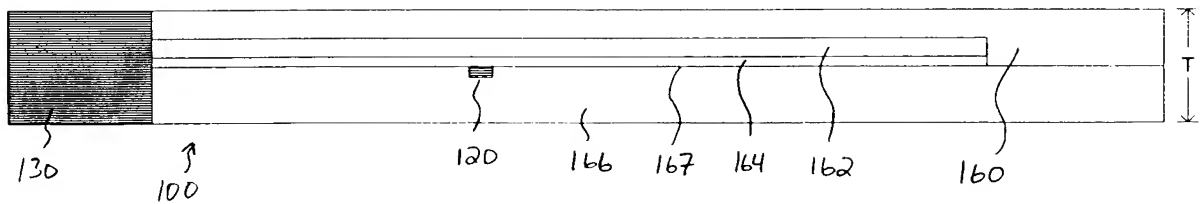


Fig. 2C



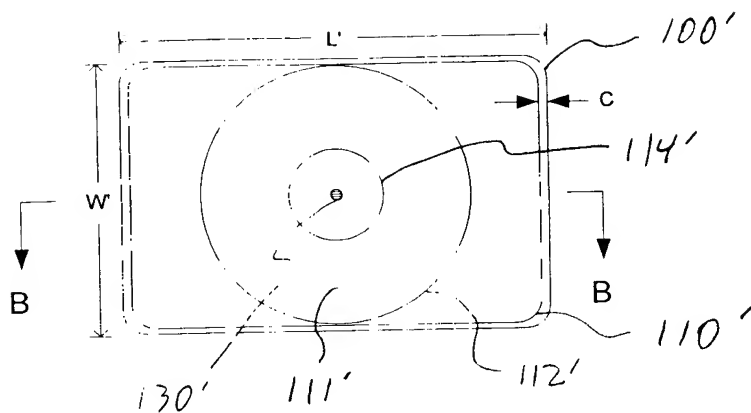


Fig. 3A

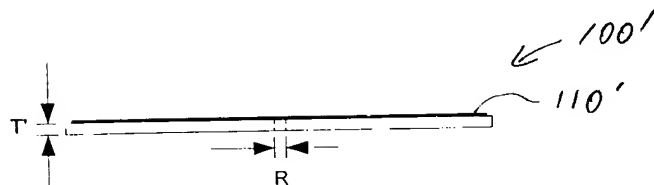


Fig. 3B

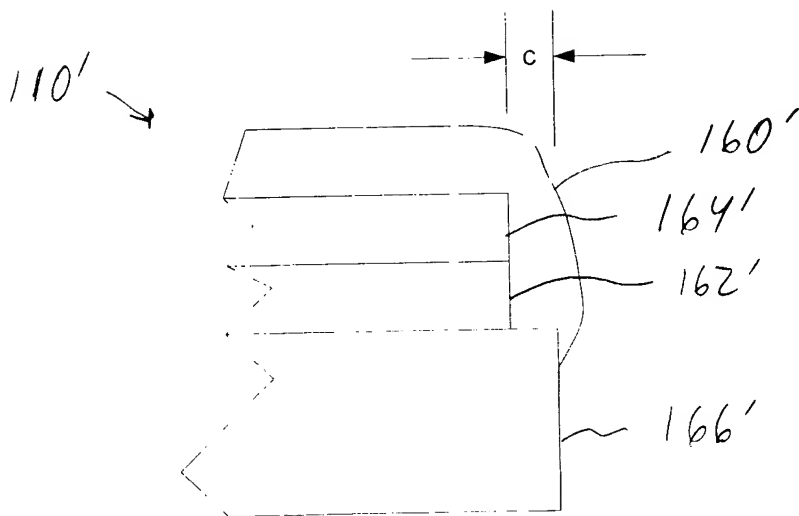


Fig. 3C

Fig. 4A

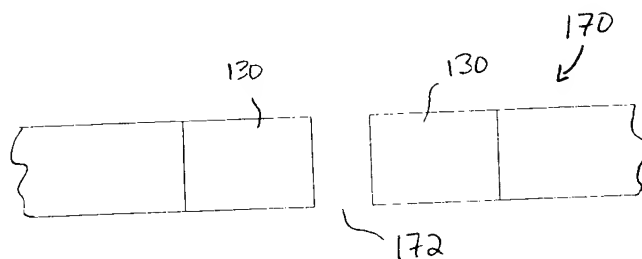


Fig. 4B

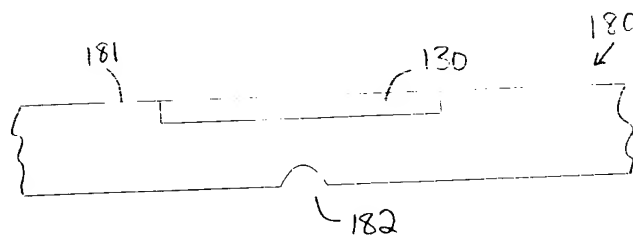


Fig. 4C

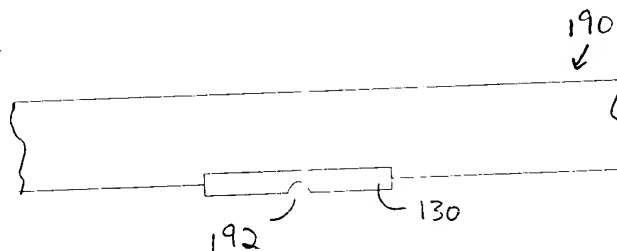


Fig. 4D

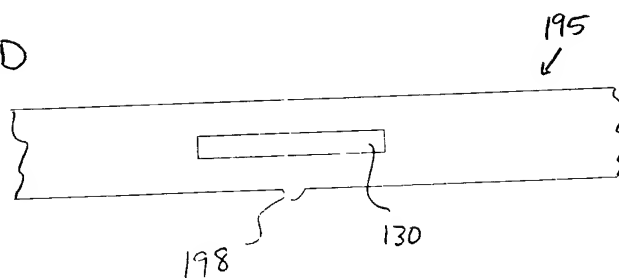


Fig. 5A

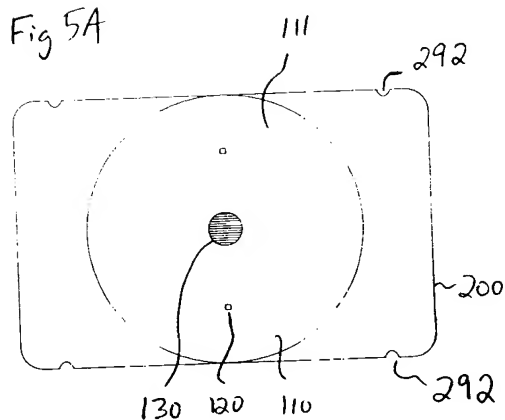


Fig. 6A

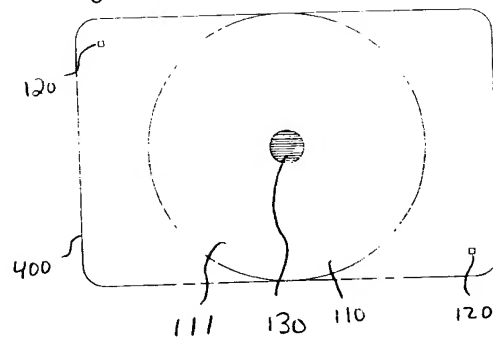


Fig. 5B

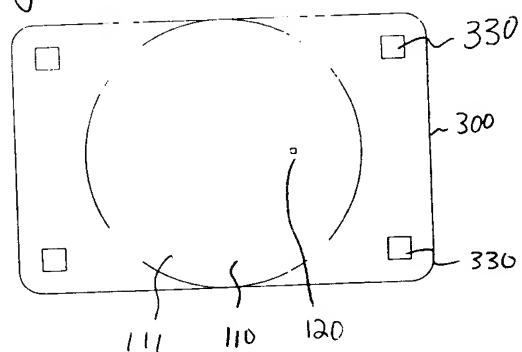
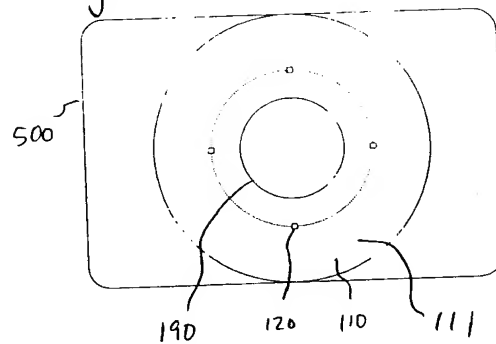


Fig. 6B



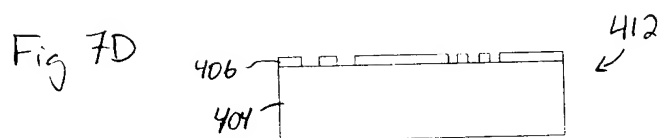
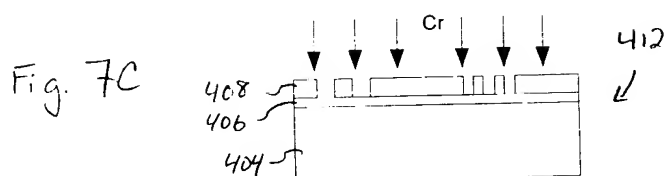
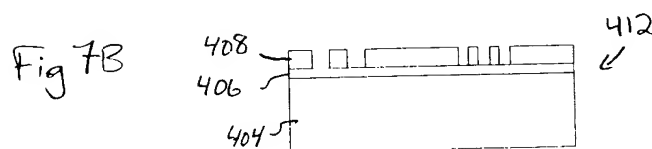
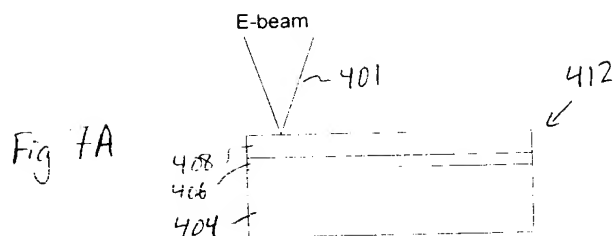


Fig. 8A

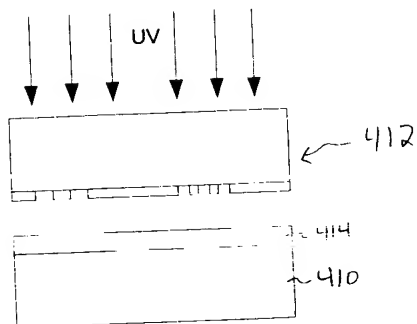


Fig. 8B



Fig. 8C

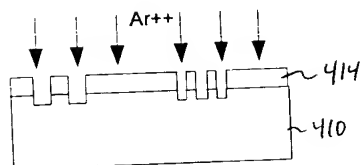


Fig. 8D

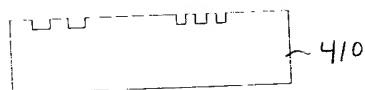


Fig 9A

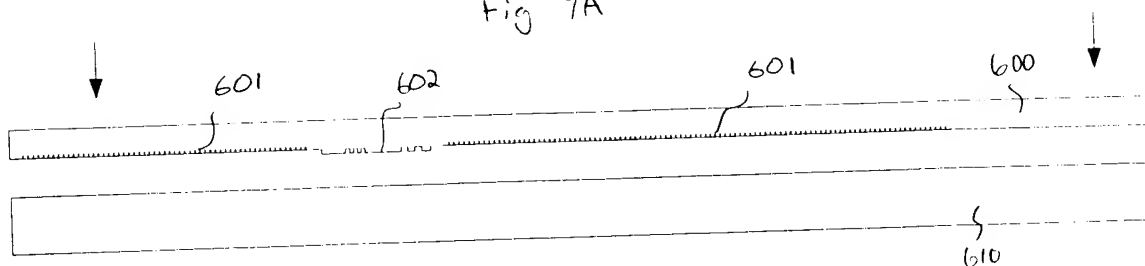


Fig 9B

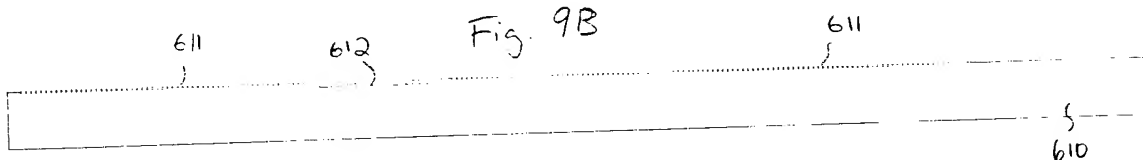


Fig 9C

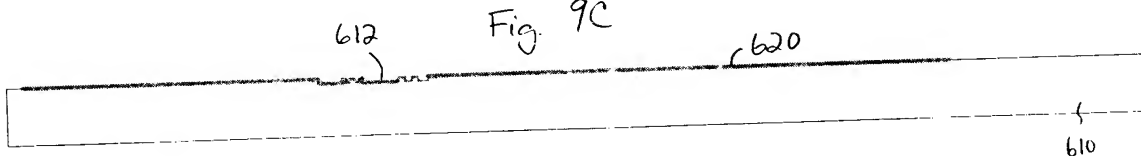


Fig 9D

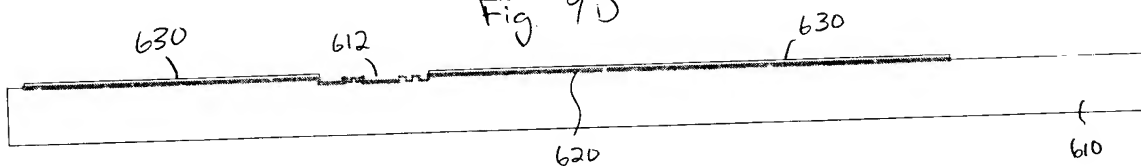


Fig 9E

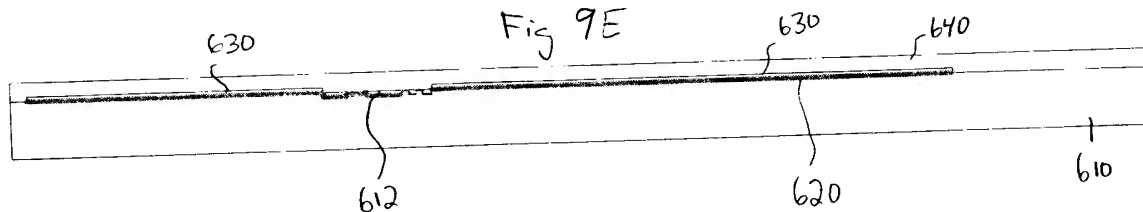


Fig. 10

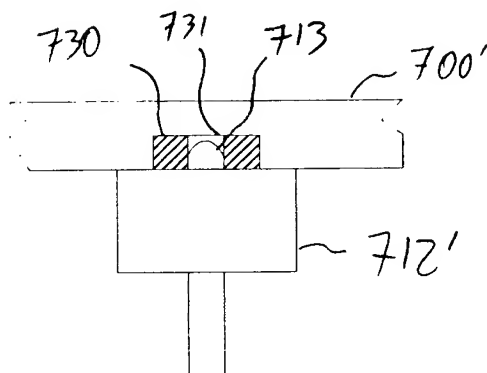
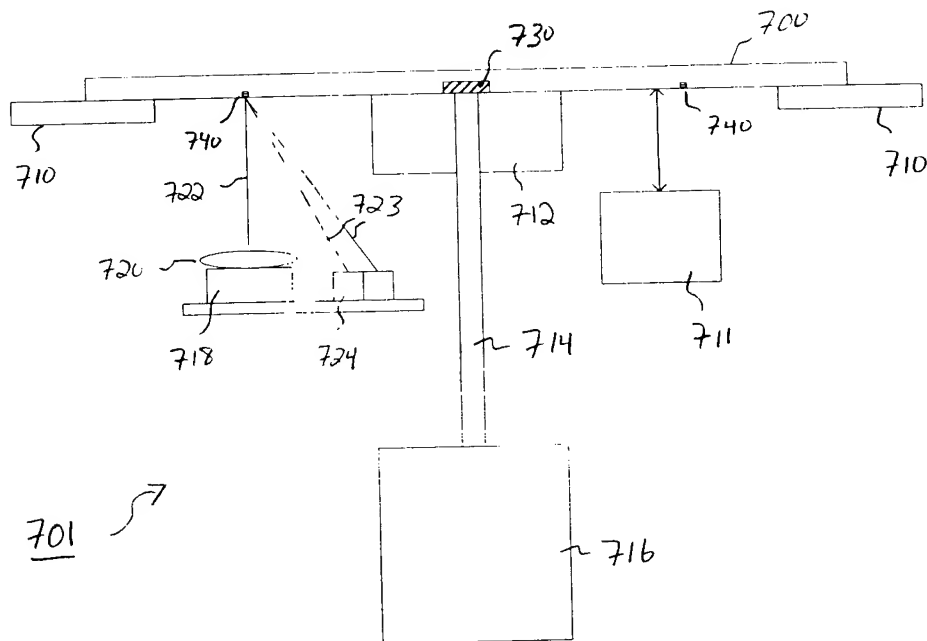


Fig 11

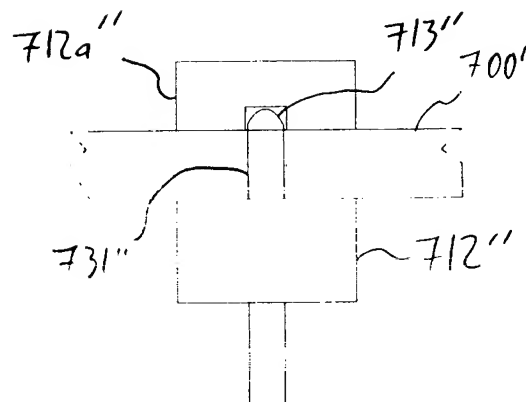


Fig 12